

Introdução ao Cálculo Numérico

Integração numérica

(regras do trapézio, Simpson e Romberg;
quadratura de Gauss-Legendre)

Integração numérica

- É um processo computacional que busca calcular $\int_a^b f(x)dx$, substituindo $f(x)$ por uma função $g(x) \cong f(x)$, tal que $g(x)$ seja mais amena à integração (p.ex., $g(x)$ é um polinômio),

$$\int_a^b f(x)dx = \int_a^b (g(x) + e(x))dx = \int_a^b g(x)dx + E \quad (1)$$

onde $e(x)$ é o erro devido à aproximação de $f(x)$ por $g(x)$ e $E = \int_a^b e(x)dx$.

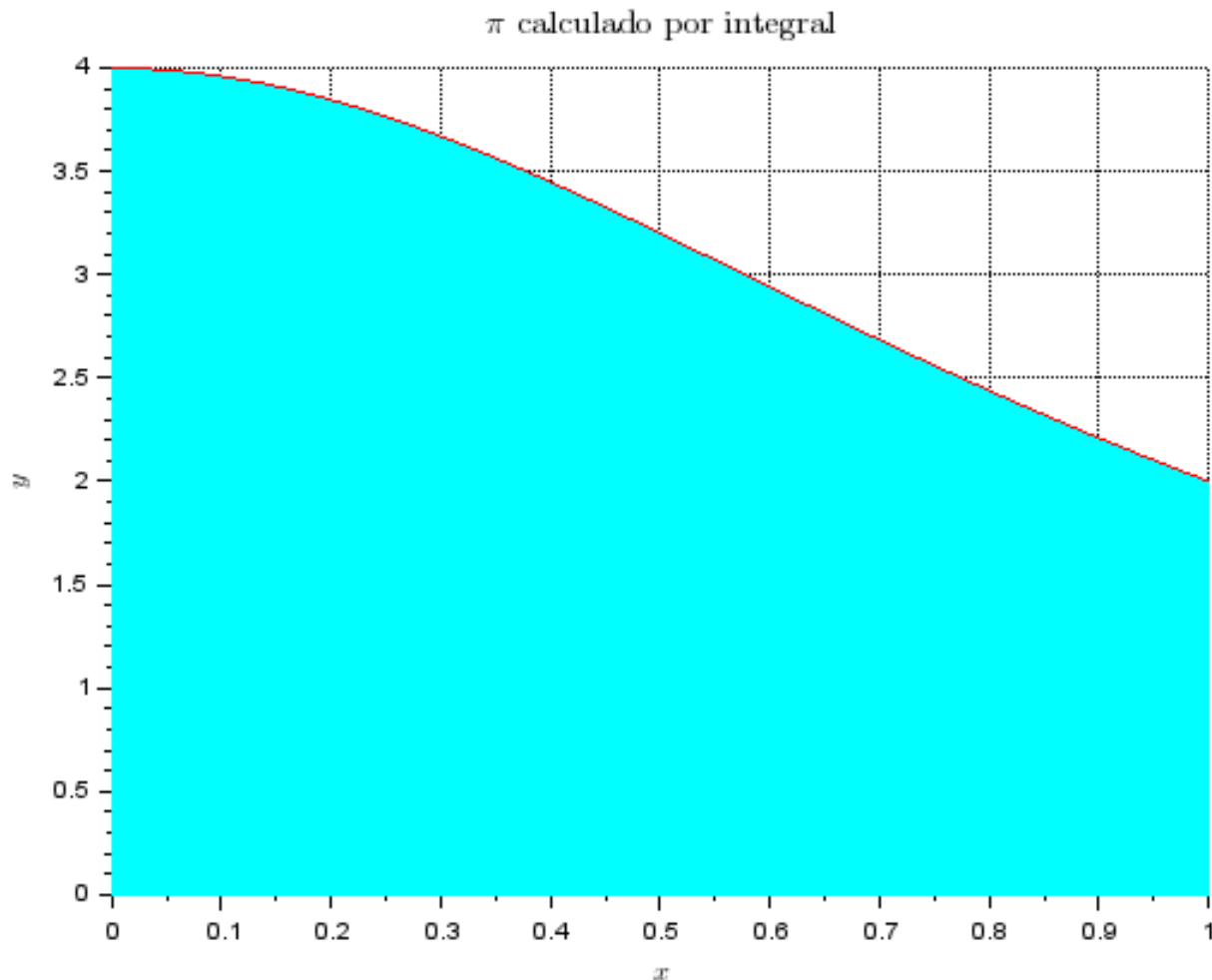
Problema modelo

- Para ilustrar as diferentes formas de integração numérica que abordaremos, usaremos como problema modelo a integral

$$\int_0^1 \frac{4}{1+x^2} dx = 4 \tan^{-1} x \Big|_0^1 = \pi. \quad (2)$$

- O gráfico da função integranda e da área abaixo da sua curva no intervalo de integração é mostrado a seguir:

Problema modelo



Integração numérica por interpolação polinomial

Fórmula de Newton-Cotes

Integração numérica por interpolação polinomial

- Para calcular o polinômio interpolador que substituirá a função integranda, tomamos os limites de integração a e b como os extremos de um intervalo $[a; b]$, e dividimo-lo em subintervalos $[x_0; x_1], [x_1; x_2], \dots, [x_{n-1}; x_n]$, tais que os nós x_i satisfaçam

$$a = x_0 < x_1 < \dots < x_{n-1} < x_n = b.$$

Integração numérica por interpolação polinomial

- De posse desses nós, podemos interpolar $f(x)$ usando os polinômios de Lagrange,

$$p(x) = \sum_{i=0}^n f(x_i) l_i(x), \quad l_i(x) = \prod_{\substack{j=0 \\ j \neq i}}^n \frac{x - x_j}{x_i - x_j} \quad (3)$$

Integração numérica por interpolação polinomial

- Podemos agora substituir $f(x)$ por $p(x)$ na integral

$\int_a^b f(x)dx$, obtendo

$$\begin{aligned}\int_a^b f(x)dx &\cong \int_a^b p(x)dx = \\ &\cong \sum_{i=0}^n f(x_i) \int_a^b l_i(x)dx = \\ &\cong \sum_{i=0}^n A_i f(x_i)\end{aligned}\tag{4}$$

onde $A_i = \int_a^b l_i(x)dx$.

Integração numérica por interpolação polinomial

- A fórmula anterior é conhecida como *fórmula de Newton-Cotes*, se os nós x_i forem igualmente espaçados.
- A partir dessa fórmula, podemos obter várias *regras de integração*, como as do *trapézio* e de *Simpson*.

Regras do Trapézio

Simples, Composta e Composta Uniforme

Regra do Trapézio

- Se substituirmos $f(x)$ por um polinômio de grau 1 (i.e., uma reta), os polinômios interpoladores são

$$l_0(x) = \frac{b-x}{b-a}, l_1(x) = \frac{x-a}{b-a}$$

de onde A_0 e A_1 são obtidos como

$$A_0 = \int_a^b l_0(x) dx = \frac{(b-a)}{2} = \int_a^b l_1(x) dx = A_1. \quad (5)$$

Regra do Trapézio

- E, portanto, podemos escrever

$$T(a; b) = \int_a^b f(x) dx \cong \frac{b-a}{2} (f(a) + f(b)), \quad (6)$$

a qual define a *regra do trapézio*.

- O erro de truncamento associado à regra do trapézio é dado por

$$E_{T(a;b)} \leq \frac{(b-a)^3}{12} \max_{a \leq x \leq b} |f''(x)|. \quad (7)$$

Regra do Trapézio

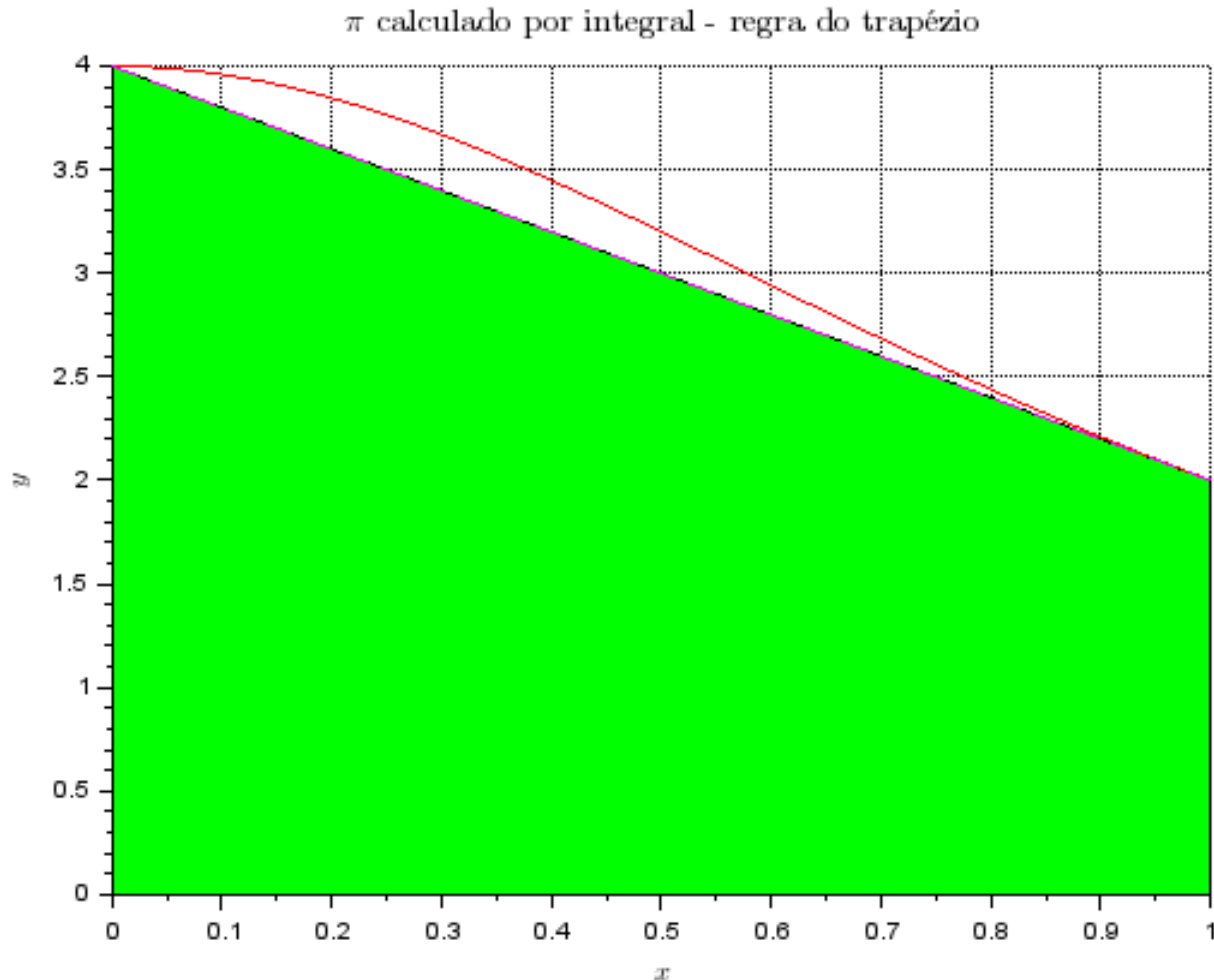
- Aplicando a regra do trapézio ao problema modelo, obtemos:

$$T(0; 1) = \frac{1}{2} (f(0) + f(1)) = \frac{2 + 4}{2} = 3$$

e o erro relativo entre essa aproximação e a solução exata é

$$e_r = \frac{|\pi - T(0; 1)|}{\pi} = 4,507034 \times 10^{-2}.$$

Regra do Trapézio



Regra Composta do Trapézio

- O erro associado à regra do trapézio pode ser reduzido se dividirmos o intervalo $[a; b]$ em subintervalos $[x_0; x_1], [x_1; x_2], \dots, [x_{n-1}; x_n]$, com $x_0 = a$ e $x_n = b$, e aplicarmos individualmente a regra do trapézio em cada subintervalo.
- Note que os nós x_i podem ser obtidos de forma **arbitrária**, ou podem ser **distribuídos uniformemente** no intervalo $[a; b]$:
 - Deve haver **maior concentração** de nós nas regiões de **maior variação** da função.

Regra Composta do Trapézio

- A regra composta do trapézio pode ser expressa então como

$$\begin{aligned}\int_a^b f(x)dx &\cong \sum_{i=1}^n T(x_{i-1}; x_i) \\ &= \frac{1}{2} \sum_{i=1}^n (x_i - x_{i-1}) (f(x_{i-1}) + f(x_i))\end{aligned}\tag{8}$$

ou, de maneira equivalente,

$$T_c(\{x_i\}) = T(x_0; x_1) + \cdots + T(x_{n-1}; x_n)\tag{9}$$

Regra Composta do Trapézio

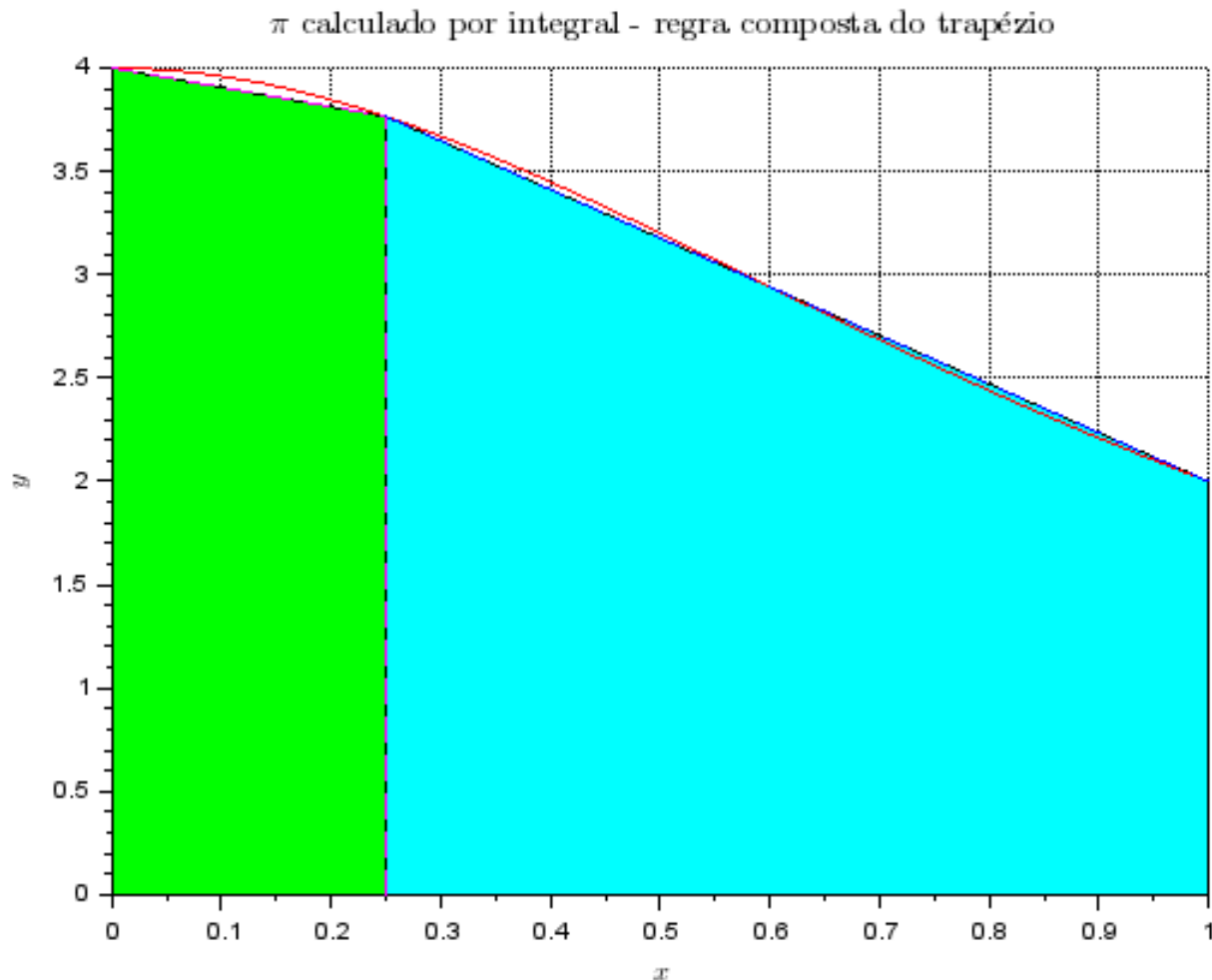
- Aplicando a regra composta do trapézio ao problema modelo, usando os nós $x_0 = 0$, $x_1 = 0,25$ e $x_2 = 1$, obtemos:

$$\begin{aligned} T_c(\{0; 0,25; 1\}) &= T(0; 0,25) + T(0,25; 1) \\ &= 3,13235294118 \end{aligned}$$

e o erro relativo entre essa aproximação e a solução exata é

$$e_r = \frac{|\pi - T_c(\{0; 0,25; 1\})|}{\pi} = 2,941092 \times 10^{-3}$$

Regra Composta do Trapézio



Regra Composta do Trapézio

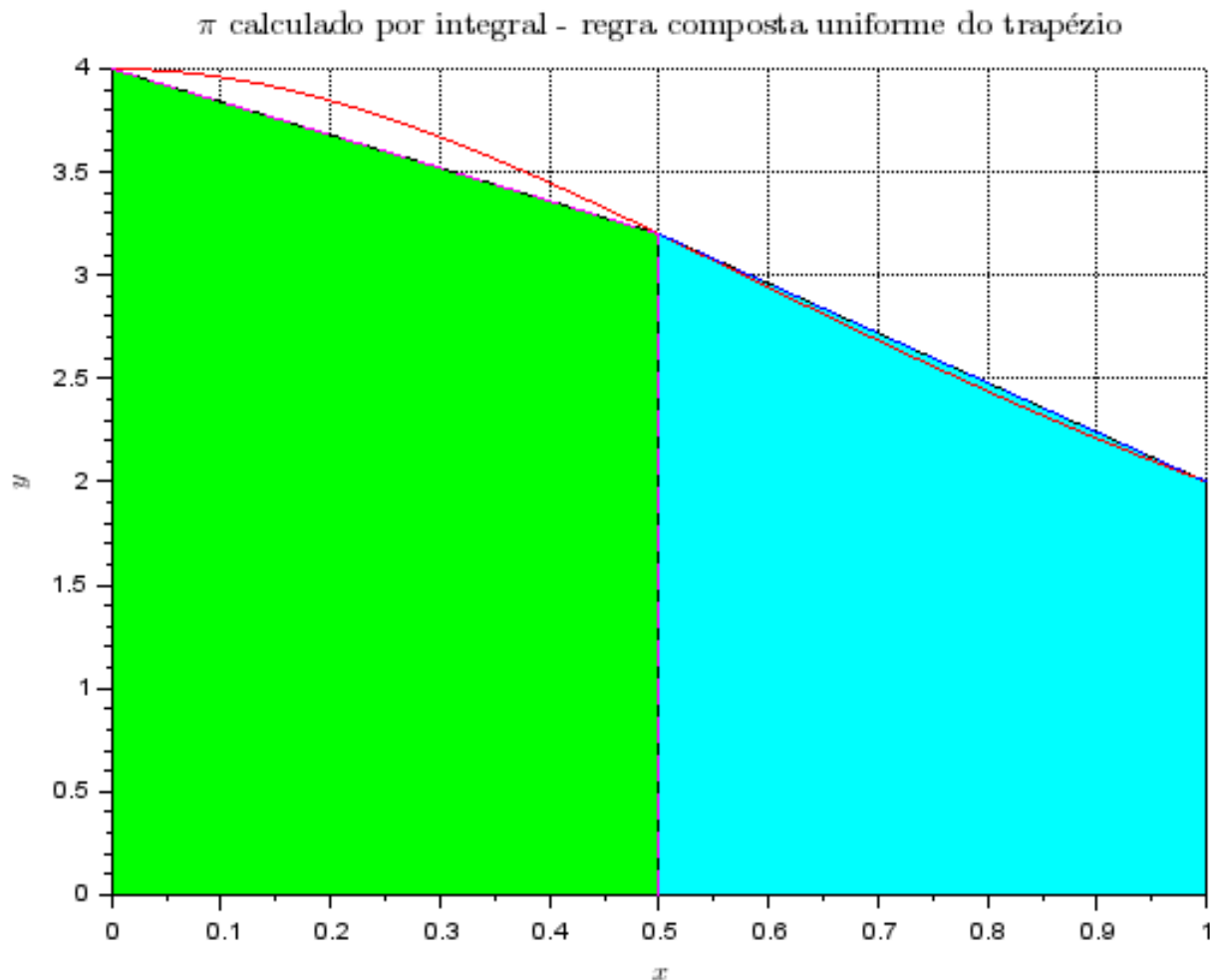
- Agora, usando os nós $x_0 = 0$, $x_1 = 0,5$ e $x_2 = 1$, obtemos:

$$\begin{aligned}T_c(\{0; 0,5; 1\}) &= T(0; 0,5) + T(0,25; 1) \\ &= 3,100000000000\end{aligned}$$

e o erro relativo entre essa aproximação e a solução exata é

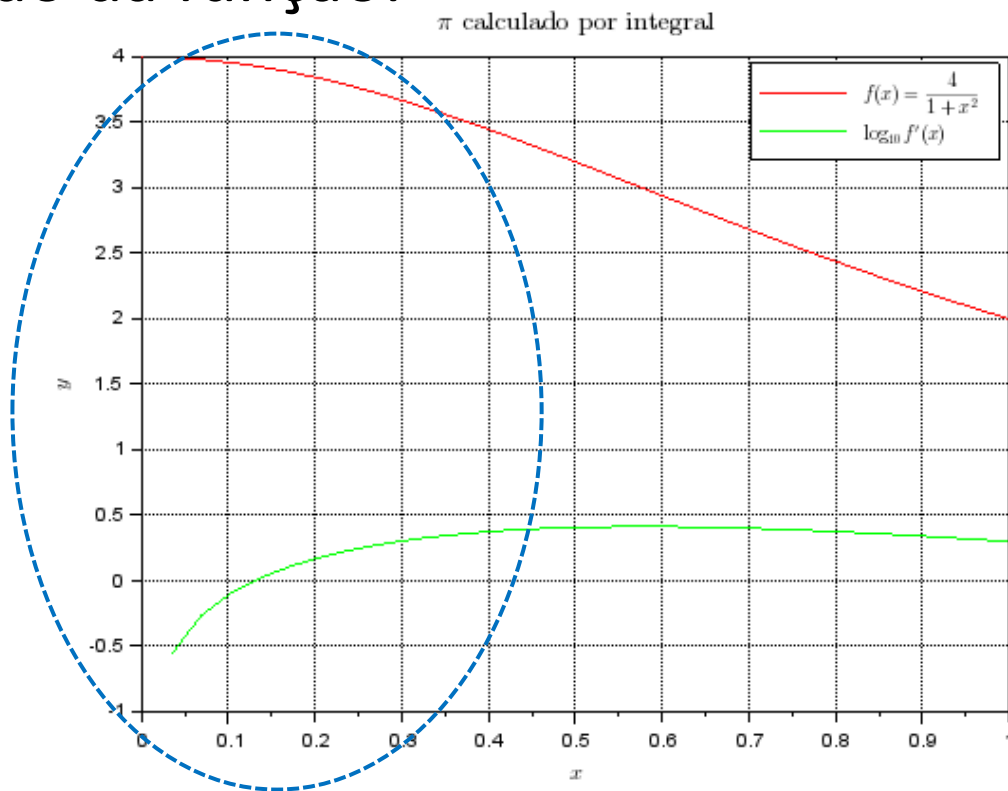
$$e_r = \frac{|\pi - T_c(\{0; 0,5; 1\})|}{\pi} = 1,323935 \times 10^{-2}$$

Regra Composta do Trapézio



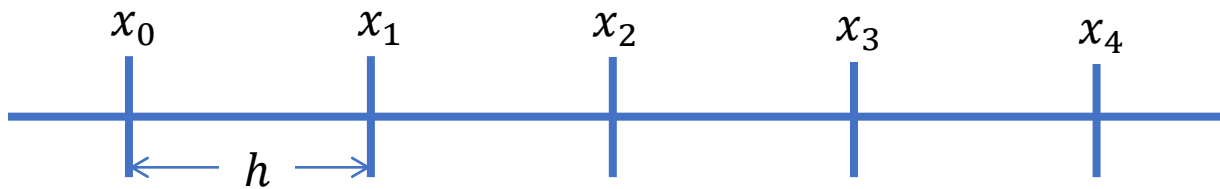
Regra Composta do Trapézio

- Os dois gráficos anteriores evidenciam a necessidade de se colocar mais nós onde haja maior variação da função:



Regra Composta Uniforme do Trapézio

- Para $n + 1$ nós x_i igualmente espaçados no intervalo $[a; b]$, com $x_0 = a$ e $x_n = b$, definimos o espaçamento $h = \frac{b-a}{n}$, de onde $x_i = a + ih$.



$$n = 4$$
$$h = \frac{b-a}{4}$$

$$x_0 = a$$
$$x_1 = a + h$$
$$x_2 = a + 2h$$
$$x_3 = a + 3h$$
$$x_4 = a + 4 \frac{b-a}{4} = b$$

Regra Composta Uniforme do Trapézio

- Escrevendo a regra do trapézio para cada um dos n trapézios e rearranjando os termos, obtemos a *regra composta uniforme do trapézio*,

$$T_u(h) = \frac{h}{2} \left(f(a) + \left(2 \sum_{i=1}^{n-1} f(a + ih) \right) + f(b) \right). \quad (10)$$

- O *erro de truncamento* associado à regra composta uniforme do trapézio é dado por

$$E_{T_u(h)} \leq \frac{h^2}{12} (b - a) \max_{a \leq x \leq b} |f''(x)|. \quad (11)$$

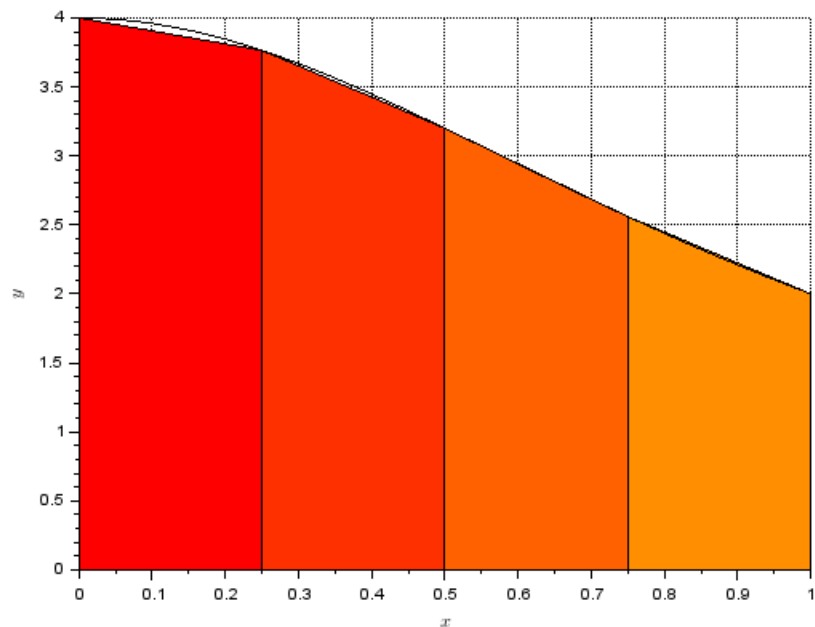
Regra Composta Uniforme do Trapézio

- Usando nós igualmente espaçados para o problema modelo, obtemos os seguintes resultados, mostrados na Tabela 1:

h	$T_u(h)$	$e_r(\pi, T_u(h))$
1/4	3,13117647059	$3,315574 \times 10^{-3}$
1/8	3,13898849449	$8,289296 \times 10^{-4}$
1/16	3,14094161204	$2,072330 \times 10^{-4}$
1/32	3,14142989317	$5,180825 \times 10^{-5}$

- Observe os gráficos a seguir:

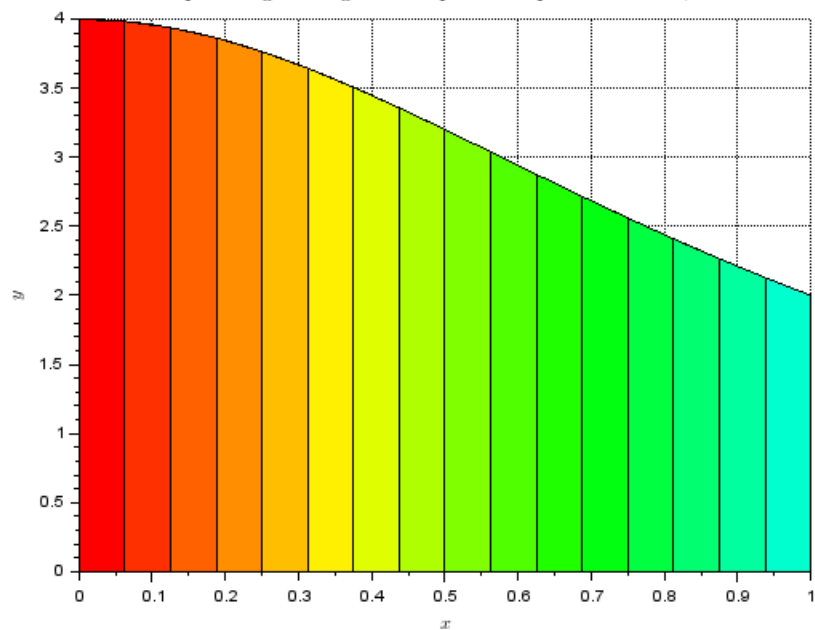
π calculado por integral - regra do trapézio composto uniforme, 4 intervalos



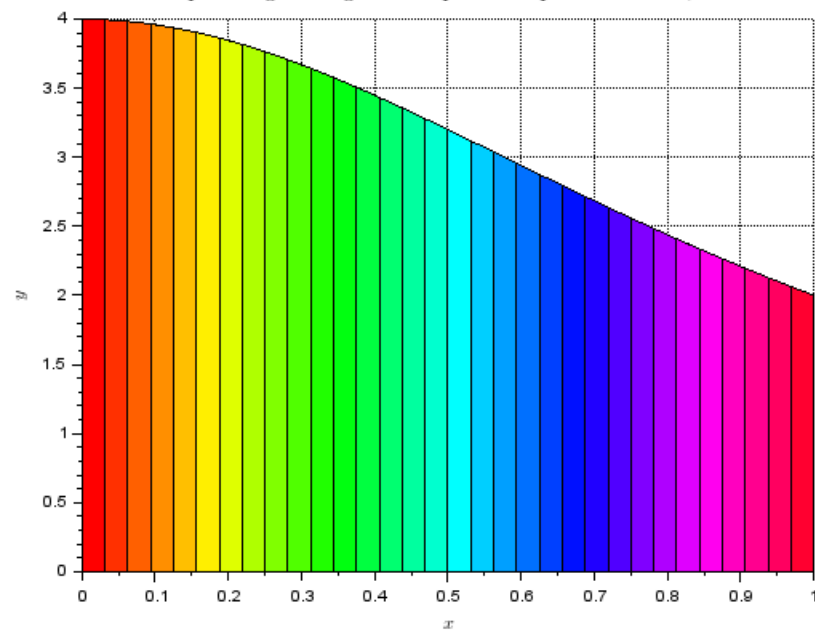
π calculado por integral - regra do trapézio composto uniforme, 8 intervalos



π calculado por integral - regra do trapézio composto uniforme, 16 intervalos



π calculado por integral - regra do trapézio composto uniforme, 32 intervalos



Regras de Simpson

Simples, Composta e Composta Uniforme

Regra de Simpson

- Como visto, a regra do trapézio não aproxima adequadamente a área sob a curva da função integranda, em geral.
- Uma alternativa é introduzir um nó intermediário aos extremos do intervalo formado pelos limites de integração, $[a; b]$, e interpolar os pontos $(a; f(a))$, $(m; f(m))$ e $(b; f(b))$ por um polinômio de grau 2, onde $m = \frac{a+b}{2}$.

Regra de Simpson

- Nesse caso, as funções cardinais são dadas por:

$$l_0 = \frac{x-m}{a-m} \frac{x-b}{a-b}, l_1 = \frac{x-a}{m-a} \frac{x-b}{m-b} \text{ e } l_2 = \frac{x-a}{b-a} \frac{x-m}{b-m},$$

de onde as integrais A_0 , A_1 e A_2 são dadas por:

$$A_0 = \frac{b^3 - a^3}{3(a-m)(a-b)} + \frac{\left(-\frac{m}{a-b} - \frac{b}{a-m}\right)(b^2 - a^2)}{2(a-b)} + \frac{mb(b-a)}{(a-m)(a-b)}$$

$$A_1 = \frac{b^3 - a^3}{3(m-a)(m-b)} + \frac{\left(-\frac{a}{m-a} - \frac{b}{m-b}\right)(b^2 - a^2)}{2(m-b)} + \frac{ab(b-a)}{(m-a)(m-b)}$$

$$A_2 = \frac{b^3 - a^3}{3(b-a)(b-m)} + \frac{\left(-\frac{a}{b-a} - \frac{m}{b-m}\right)(b^2 - a^2)}{2(b-m)} + \frac{am}{b-m}$$

Regra de Simpson

- Após simplificarmos a expressão

$$f(a)A_0 + f(m)A_1 + f(b)A_2,$$

obtemos

$$S(a; b) = \int_a^b f(x)dx \cong \frac{b-a}{6} (f(a) + 4f(m) + f(b)) \quad (12)$$

a qual define a *regra de Simpson*.

- O erro de truncamento associado à regra é dado por

$$E_{S(a;b)} \leq \frac{1}{90} (b-a)^5 \max_{a \leq x \leq b} |f^{(4)}(x)|. \quad (13)$$

Regra de Simpson

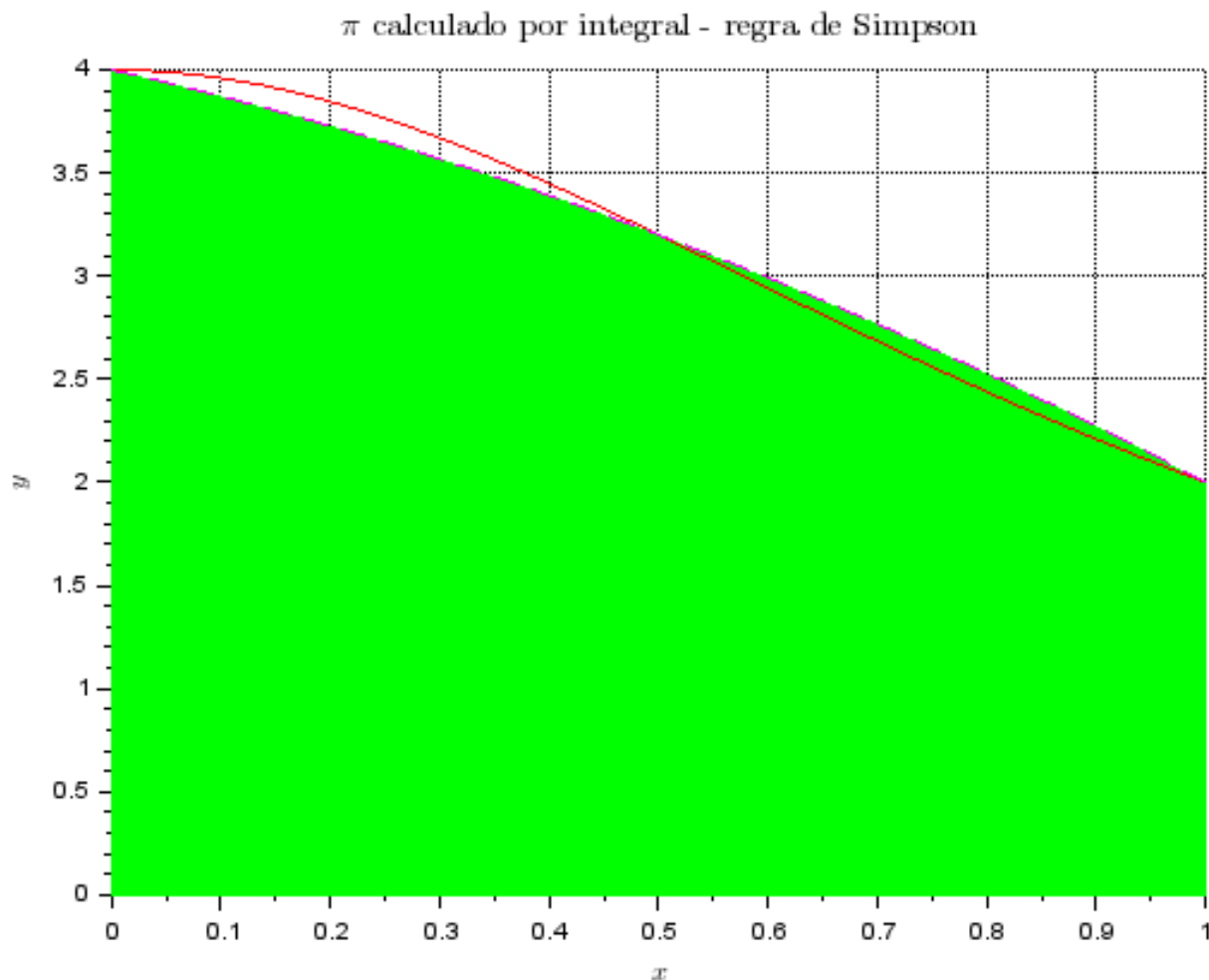
- Aplicando a regra de Simpson ao problema modelo, obtemos:

$$\begin{aligned} S(0; 1) &= \frac{1}{6} (f(0) + 4f(0,5) + f(1)) = \\ &= 3,133333333333 \end{aligned}$$

e o erro relativo entre essa aproximação e a solução exata é

$$e_r = \frac{|\pi - S(0; 1)|}{\pi} = 2,629023 \times 10^{-3}$$

Regra de Simpson



Regra Composta de Simpson

- Da mesma forma que na regra do trapézio, o erro associado à regra de Simpson pode ser reduzido se dividirmos o intervalo $[a; b]$ novamente num conjunto de subintervalos $[x_0; x_1]$, $[x_1; x_2]$, ..., $[x_{n-1}; x_n]$, onde $x_0 = a$ e $x_n = b$, e aplicarmos individualmente a regra de Simpson a cada um deles, resultando em:

$$S_C(\{x_i\}) = \sum_{i=0}^{n-1} \left(\frac{x_{i+1} - x_i}{6} \left(f(x_i) + 4f\left(\frac{x_i + x_{i+1}}{2}\right) + f(x_{i+1}) \right) \right) \quad (14)$$

ou,

$$S_C(\{x_i\}) = S(x_0; x_1) + \cdots + S(x_{n-1}; x_n) \quad (15)$$

Regra Composta de Simpson

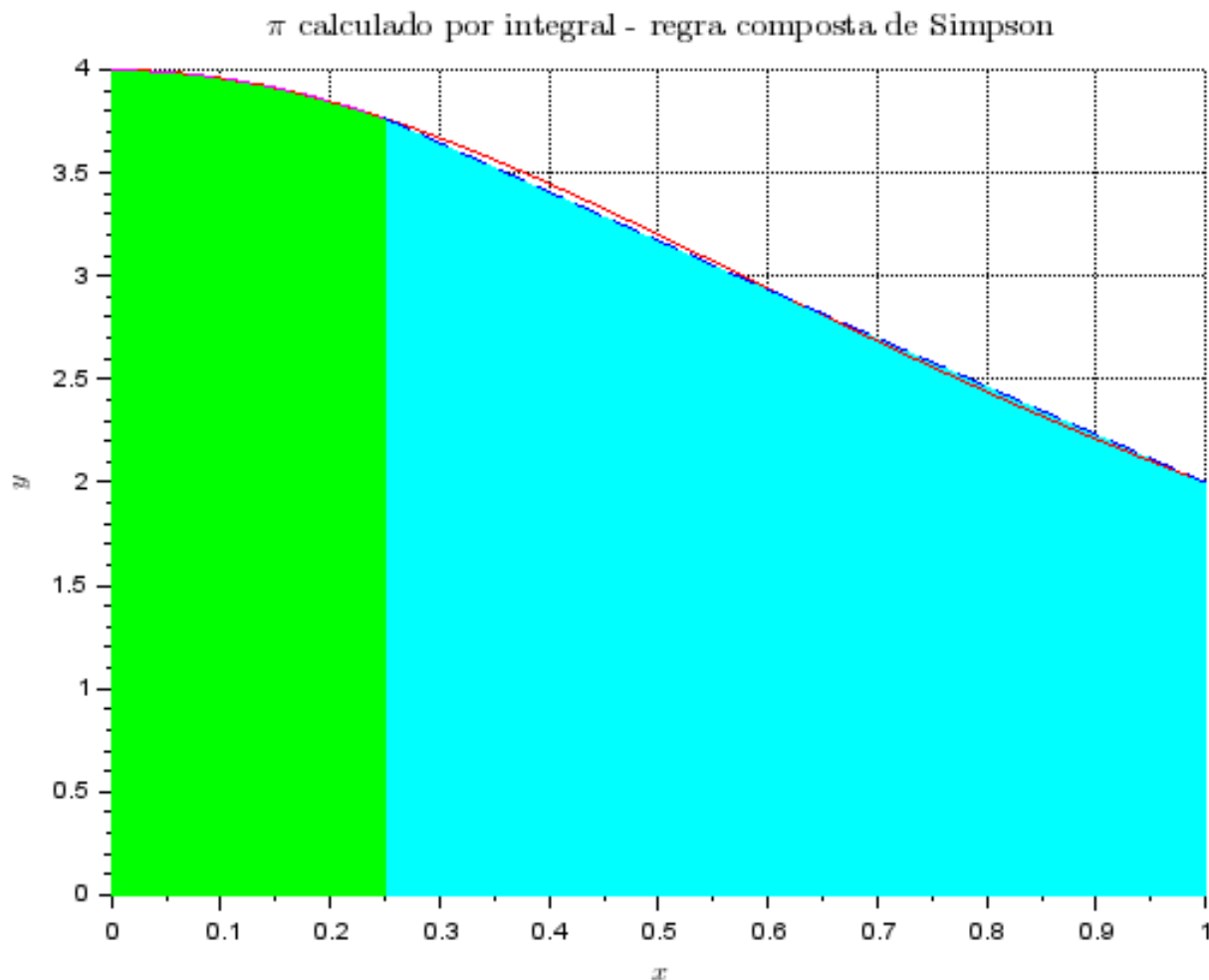
- Aplicando a regra composta de Simpson ao problema modelo, usando os nós $x_0 = 0$, $x_1 = 0,25$ e $x_2 = 1$, obtemos:

$$\begin{aligned} S_c(\{0; 0,25; 1\}) &= S(0; 0,25) + S(0,25; 1) \\ &= 3,13873015066 \end{aligned}$$

e o erro relativo entre essa aproximação e a solução exata é

$$e_r = \frac{|\pi - S_c(\{0; 0,25; 1\})|}{\pi} = 9.111630 \times 10^{-4}$$

Regra Composta de Simpson



Regra Composta de Simpson

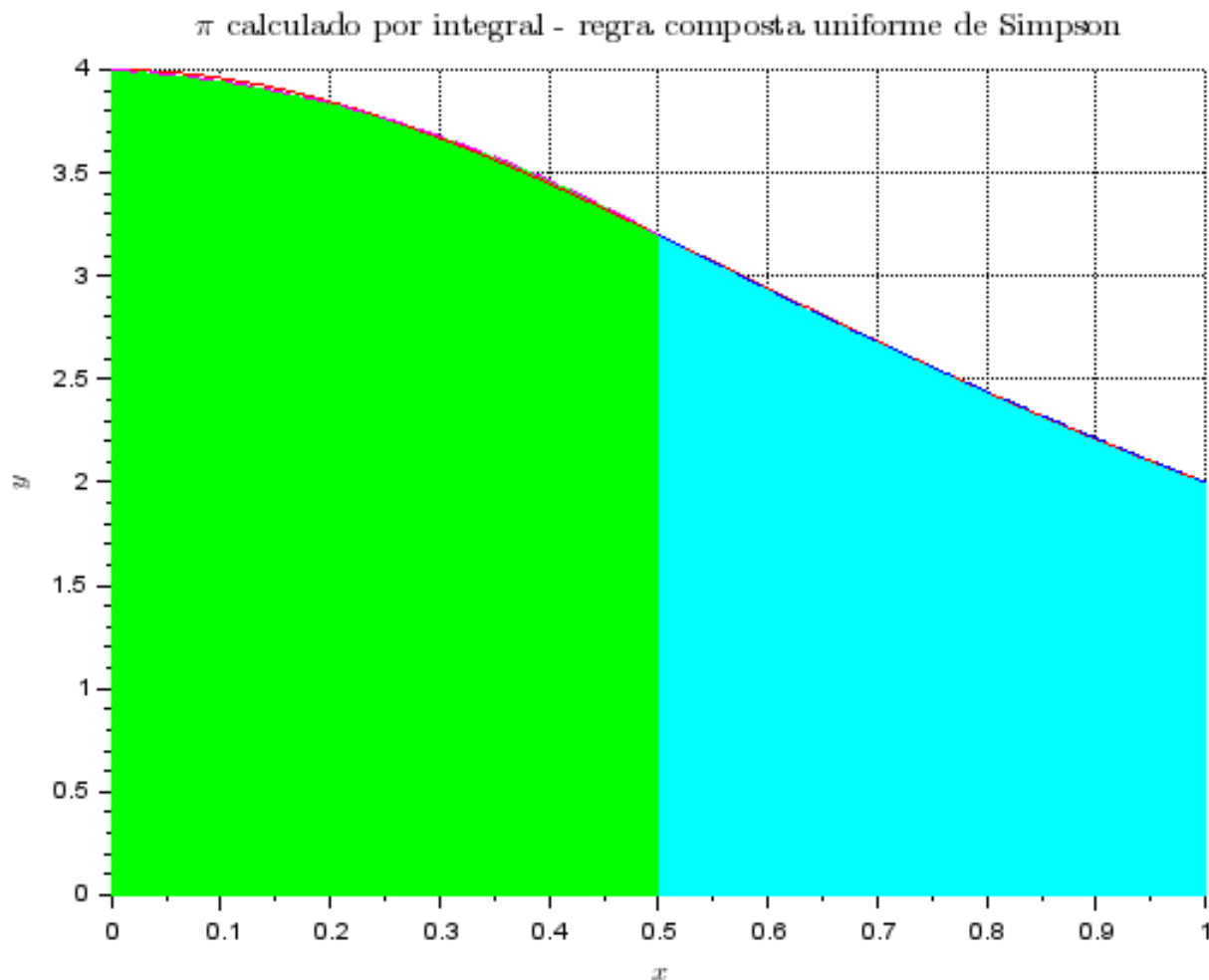
- Agora, usando os nós $x_0 = 0$, $x_1 = 0,5$ e $x_2 = 1$, obtemos:

$$\begin{aligned} S_c(\{0; 0,5; 1\}) &= S(0; 0,5) + S(0,25; 1) \\ &= 3,14156862745 \end{aligned}$$

e o erro relativo entre essa aproximação e a solução exata é

$$e_r = \frac{|\pi - S_c(\{0; 0,5; 1\})|}{\pi} = 7,647758 \times 10^{-6}$$

Regra Composta de Simpson



Regra Composta Uniforme de Simpson

- Para nós x_i , igualmente espaçados no intervalo $[a; b]$, obtemos a *regra composta uniforme de Simpson*, onde n é **par**:

$$S_u(h) = \frac{h}{3} \left(f(a) + 2 \sum_{i=2}^{n/2} f(x_{2i-2}) + 4 \sum_{i=1}^{n/2} f(x_{2i-1}) + f(b) \right). \quad (16)$$

- O erro de truncamento associado à regra composta uniforme de Simpson é dado por

$$E_{S_u(h)} \leq \frac{h^4}{180} (b - a) \max_{a \leq x \leq b} |f^{(4)}(x)|. \quad (17)$$

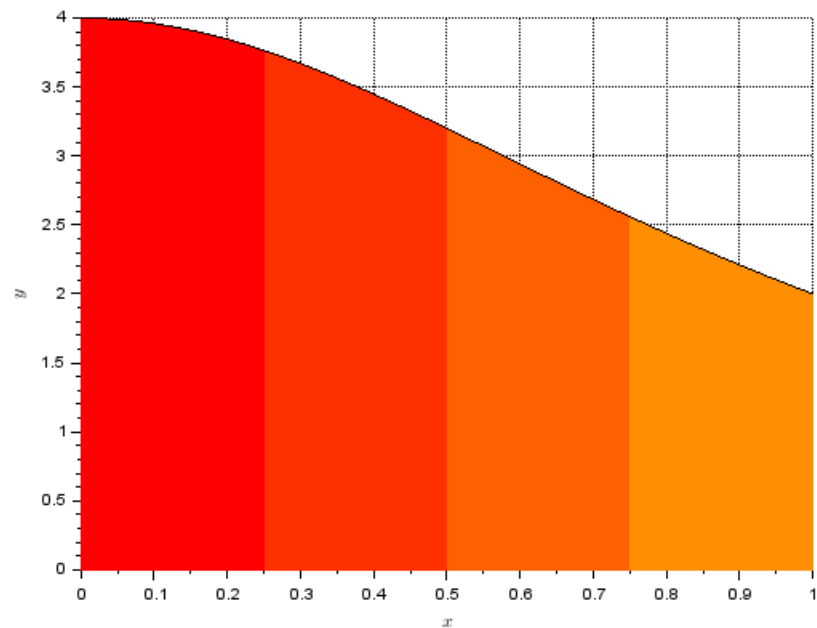
Regra Composta Uniforme de Simpson

- Usando nós igualmente espaçados para o problema modelo, obtemos os seguintes resultados, mostrados na Tabela 2:

h	$S_u(h)$	$e_r(\pi, S_u(h))$
1/4	3,14156862745	$7,647758 \times 10^{-6}$
1/8	3,14159250246	$4,810652 \times 10^{-8}$
1/16	3,14159265122	$7,527938 \times 10^{-10}$
1/32	3,14159265355	$1,176367 \times 10^{-11}$

- Observe os gráficos a seguir:

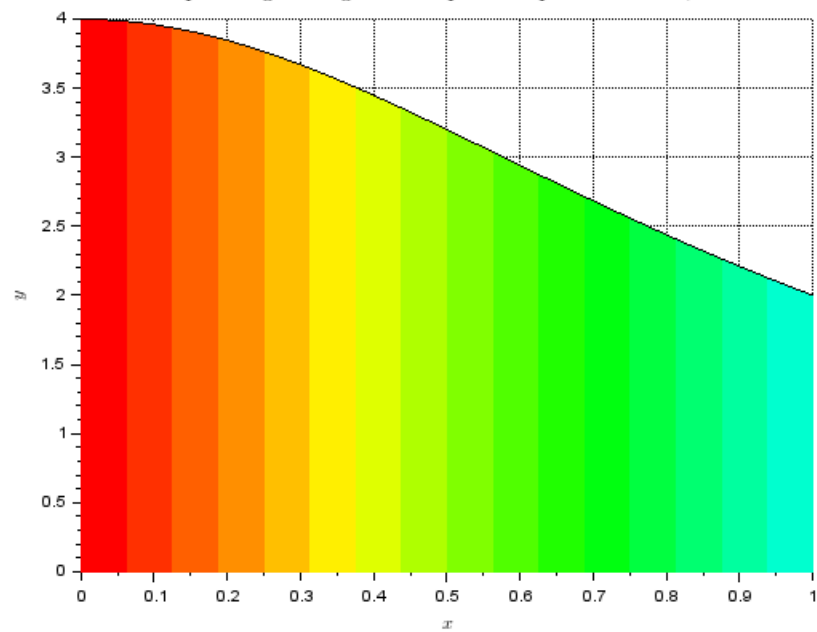
π calculado por integral - regra de Simpson composta uniforme, 4 intervalos



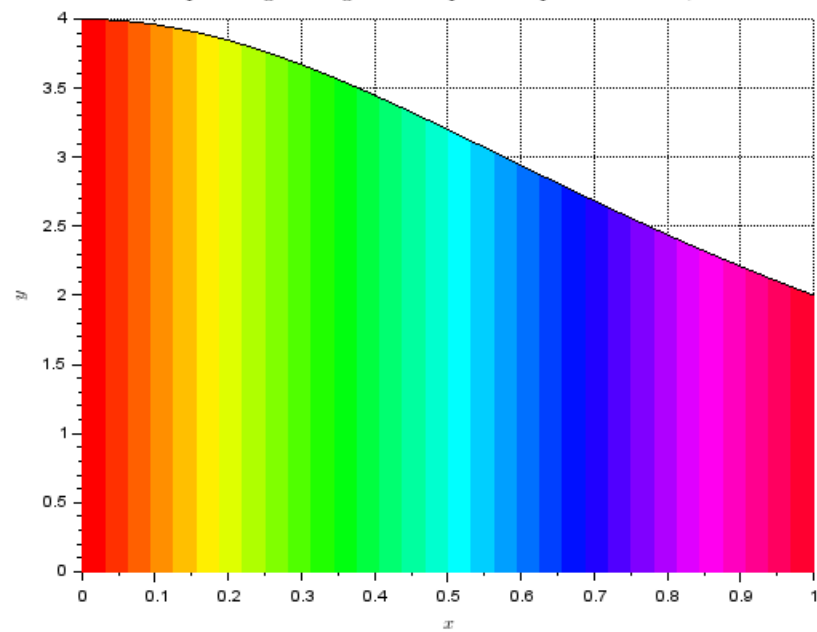
π calculado por integral - regra de Simpson composta uniforme, 8 intervalos



π calculado por integral - regra de Simpson composta uniforme, 16 intervalos



π calculado por integral - regra de Simpson composta uniforme, 32 intervalos



Regra de Romberg

Extrapolação de Richardson e Regra do Trapézio

- Como vimos nos exemplos anteriores, as regras simples não fornecem, em geral, aproximações de grande precisão, devido ao erro inerente às suas formulações.
- As regras compostas permitem melhorar a precisão, pois o erro é menor ao dividir o intervalo de integração em subintervalos e aplicar a regra simples em cada um deles; mas, ainda assim, podem não alcançar a precisão desejada e requerem grande número de avaliações da função integranda.

- Um maneira de se alcançar uma maior precisão, sem recorrer às regras compostas, é usar a chamada **extrapolação de Richardson**.
- Proposta pelo matemático e físico inglês Lewis Fry Richardson (*1881-†1953), ela permite calcular uma aproximação mais precisa e simples, a partir de duas aproximações calculadas de forma adequada, das quais se conheça a ordem do erro.
- Essa técnica pode ser aplicada em diversas situações, como veremos a seguir.

Extrapolação de Richardson

- Suponha que desejamos calcular a (uma quantidade qualquer: derivada, integral, etc.), a qual não pode ser calculada de forma exata.
- Suponha, ainda, que existe um processo numérico gerado por uma função $\varphi(h)$, diferenciável continuamente e infinitamente, onde $h \in \mathbb{R}$ é tal que $\varphi(h) \rightarrow \varphi(0) = a$, quando $h \rightarrow 0$.
- Podemos, então, expandir $\varphi(h)$ por uma série de Taylor:

$$\varphi(h) = \varphi(0) + h\varphi'(0) + \frac{h^2}{2}\varphi''(0) + \frac{h^3}{6}\varphi'''(0) + \dots \quad (18)$$

Extrapolação de Richardson

- Como $\varphi(0) = a$, e deixando em evidência apenas os termos nas potências de h , podemos reescrever (18) como

$$\varphi(h) = a + c_1 h + c_2 h^2 + c_3 h^3 + \dots \quad (19)$$

onde c_1, c_2, c_3, \dots são constantes.

- A Eq. (19) tem um erro $O(h)$. Para melhorar a aproximação, podemos tomar um espaçamento $h/2$:

$$\varphi(h/2) = a + c_1 \frac{1}{2} h + c_2 \frac{1}{4} h^2 + c_3 \frac{1}{8} h^3 + \dots \quad (20)$$

- Agora, ao invés de tentarmos obter aproximações sucessivamente melhores, dividindo h pela metade a cada vez, vamos proceder de forma diferente:

Extrapolação de Richardson

- Multiplicando $\varphi(h/2)$ por 2 e subtraindo dela $\varphi(h)$, vem:

$$2\varphi(h/2) - \varphi(h) = a + \overbrace{2c_1 \frac{1}{2}h - c_1h}^{=0} - c_2 \frac{1}{2}h^2 - c_3 \frac{3}{4}h^3 \quad (21)$$

Descartando os termos de ordem igual ou superior a h^2 , escrevemos

$$a = 2\varphi(h/2) - \varphi(h) = \psi(h) \quad (22)$$

a qual tem um erro $O(h^2)$.

Extrapolação de Richardson

- Então, é muito melhor calcular uma aproximação para a usando a Eq. (22), do que recorrer à divisão sucessiva de h pela metade, pois o erro em $\varphi(h)$ sempre será $O(h)$.
- Porém, podemos obter aproximações ainda melhores, usando a mesma técnica. Vamos remover o termo em h^2 na Eq. (21):

$$\psi(h) = a + -c_2 \frac{1}{2} h^2 - c_3 \frac{1}{4} h^3 \quad (23)$$

$$\psi(h/2) = a + -c_2 \frac{1}{2} \cdot \frac{1}{2^2} h^2 - c_3 \frac{3}{4} \cdot \frac{1}{2 \cdot 2^2} h^3 \quad (24)$$

Extrapolação de Richardson

- Multiplicando $\psi(h/2)$ por 2^2 e subtraindo $\psi(h)$ dela, vem:

$$2^2\psi(h/2) - \psi(h) = 3a + c_3 \frac{3}{8}h^3 + \dots \quad (25)$$

- Desprezando os termos de ordem igual ou superior a h^3 , obtemos a expressão

$$a = \frac{4\psi(h/2) - \psi(h)}{3} = \theta(h) \quad (26)$$

a qual tem um erro $O(h^3)$.

Extrapolação de Richardson

- De forma correlata, é possível obter uma estimativa para o erro na aproximação em $\psi(h)$. Suponha que a é aproximada pelas duas equações abaixo, ambas com erro $O(h^k)$:

$$a = \psi(h) + ch^k \quad (27)$$

$$a = \psi(h/2) + c \frac{1}{2^k} h^k \quad (28)$$

Subtraindo a Eq. (28) da Eq. (27), obtemos

$$c = \frac{\psi(h/2) - \psi(h)}{(1 - 2^{-k})h^k} \quad (29)$$

Extrapolação de Richardson

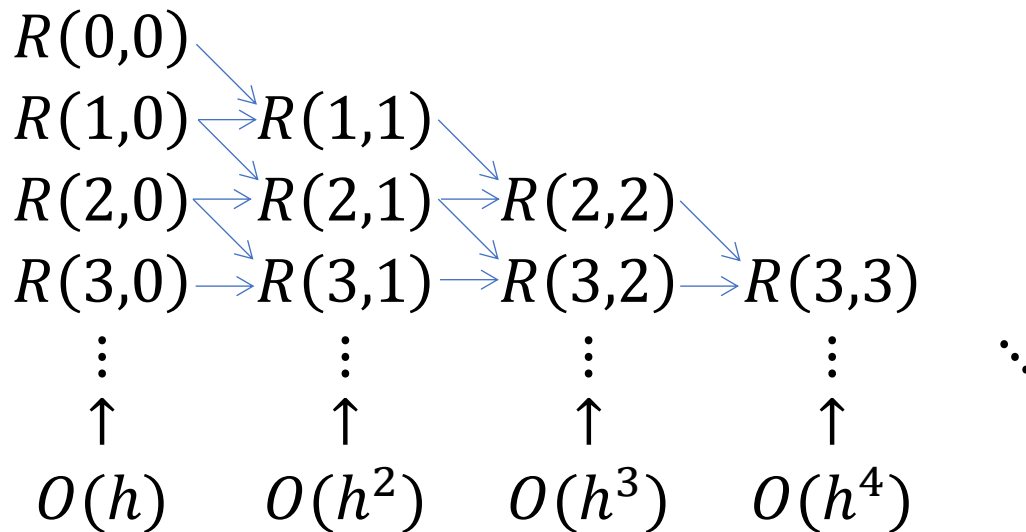
- Esse processo pode ser novamente repetido, removendo o termo em h^3 na Eq. (25) e produzindo uma aproximação $O(h^4)$, e assim sucessivamente.
- A Eq. (26) requer $\psi(h)$ e $\psi(h/2)$ os quais, por sua vez, requerem $\varphi(h)$, $\varphi(h/2)$ e $\varphi(h/4)$.
- Para poder expressar adequadamente o processo da aplicação da extrapolção de Richardson, vamos introduzir uma notação mais adequada:

$$R(j, 0) := \varphi(h/2^j), j \geq 0 \quad (30)$$

$$R(j, k) := \frac{2^k R(j, k-1) - R(j-1, k-1)}{2^k - 1}, j \geq k > 0 \quad (31)$$

Extrapolação de Richardson

- Analizando os índices em R nas Eqs. (30) e (31), se observa que os valores calculados preenchem uma matriz triangular, em que dois elementos sucessivos numa coluna produzem um elemento na coluna seguinte:



Extrapolação de Richardson

- Mais ainda, é importante observar que apenas os valores na 1ª coluna requerem (possivelmente) cálculos mais extensos; todos os demais são obtidos por simples aplicação da Eq. (31), tornando a extrapolação de Richardson um processo eficaz e eficiente de se obter aproximações de maior ordem, com baixo custo computacional.
- A seguir, apresentamos duas aplicações da extrapolação de Richardson:

Extrapolação de Richardson

1. Considere as regras do trapézio compostas uniformes calculadas com $h = 1/8$ e $h = 1/16$, apresentadas na Tabela 1: $T_u(1/8) = 3,13898849449$ e $T_u(1/16) = 3,14094161204$.

A regra do trapézio composta uniforme apresenta ordem de erro $k = 2$ (Eq. (11)). Então, usando a Eq. (26):

$$a = \frac{4T_u(1/16) - T_u(1/8)}{3} = 3,141592651224822230$$

com $e_r(\pi, a) = 7,527936 \times 10^{-10} \ll e_r(\pi, T_u(1/32))$.

Extrapolação de Richardson

2. Se deseja determinar qual o valor de n para o qual o erro seja menor do que 10^{-10} . Aqui, usaremos as regras de Simpson compostas uniformes calculadas com $h = 1/4$ e $h = 1/8$, apresentadas na Tabela 1: $S_u(1/4) = 3,14156862745$ e $S_u(1/8) = 3,14159250246$.

A regra de Simpson apresenta ordem de erro $k = 4$ (Eq. (17)). Usando a Eq. (29), com $h = 1/4$,

$$c = \frac{S_u(1/8) - S_u(1/4)}{(1 - 2^{-4})(1/4)^4} = 6,519468776605 \times 10^{-3}.$$

Como o erro na aproximação é dado por $|c|h^k$, impomos a condição $|c|h^k \leq 10^{-10}$.

Extrapolação de Richardson

2. Usando a condição anterior, calculamos h :

$$h \leq \left(\frac{10^{-10}}{c} \right)^{\frac{1}{4}} = 1,112876438032640511 \times 10^{-2}.$$

Como, por definição, $h = (b - a)/n$, podemos determinar quantos nós devem ser usados:

$$n = \left\lceil \frac{1}{1,112876438032640511 \times 10^{-2}} \right\rceil = 90,$$

onde se usa o operador $\lceil \cdot \rceil$ para garantir que a desigualdade para h seja satisfeita.

Extrapolação de Richardson

2. Calculando agora a regra composta uniforme de Simpson e o erro relativo correspondente, obtemos:

$$S_u(1/90) = 3,141592653589718509$$

com $e_r(\pi, S_u(1/90)) = 2,374814 \times 10^{-14} \ll 10^{-10}$ ■.

Observe que, como o erro relativo é da ordem de 10^{-14} , a solução está no limite da precisão dupla. Com efeito, se repetíssemos o procedimento, exigindo que o erro fosse menor do que 10^{-12} , obteríamos uma aproximação muito pior.

Regra de Romberg

- Essa regra de integração combina a regra do trapézio composta uniforme com a extrapolação de Richardson.
- Calculando a expressão para o erro através de uma expansão de Taylor para a regra composta uniforme do trapézio, verifica-se que ela é da forma

$$T_u(h) = \int_a^b f(x) dx + c_1 h^2 + c_2 h^4 + c_3 h^6 + \dots \quad (32)$$

envolvendo apenas potências pares de h .

Regra de Romberg

- Nesse caso, a aplicação da extrapolação de Richardson deve ser feita para eliminar os termos em h^{2k} , $k = 1, 2, \dots$
- Assim, a Eq. (31) deve ser ajustada convenientemente, para refletir as ordens pares dos termos de erro. Reescrevendo adequadamente as Eqs. (30) e (31), obtemos

$$R(j, 0) := T_u(h/2^j), j \geq 0 \quad (33)$$

$$R(j, k) := \frac{2^{2k} R(j, k-1) - R(j-1, k-1)}{2^{2k} - 1}, j \geq k > 0 \quad (34)$$

as quais definem a regra de Romberg.

- As colunas $R(j, k) | k > 0$ são associados aos erros de ordem $O(h^{2k})$.

Regra de Romberg

- Aplicando a regra de Romberg ao problema modelo, com $h = 1/2$, até $O(h^8)$, obtemos:

$$\begin{array}{llllll} R(0,0) = & & & & & \\ 3,100000 & & & & & \\ R(1,0) = & R(1,1) = & & & & \\ 3,131177 & 3,141567 & & & & \\ R(2,0) = & R(2,1) = & R(2,2) = & & & \\ 3,138989 & 3,141593 & 3,141594 & & & \\ R(3,0) = & R(3,1) = & R(3,2) = & R(3,3) = & & \\ 3,140942 & 3,141593 & 3,141593 & 3,141593 & & \\ R(4,0) = & R(4,1) = & R(4,2) = & R(4,3) = & R(4,4) = & \\ 3,141230 & 3,141593 & 3,141593 & 3,141593 & 3,141593 & \end{array}$$

onde $R(4,4) = 3,141592653649 \approx \int_0^1 \frac{4}{1+x^2} dx = \pi$, com

$$e_r = \frac{|\pi - R(4,4)|}{\pi} = 1,90405 \times 10^{-11}.$$

Quadratura de Gauss-Legendre

Quadraturas

- Uma *quadratura* é uma aproximação para uma integral definida de uma função, usualmente expressa como a soma ponderada dos valores da função, usando pesos w_i , quando avaliada em certos nós (x_i) do intervalo de integração:

$$\int_a^b f(x)dx \cong \sum_{i=1}^N w_i f(x_i). \quad (35)$$

Quadratura Gaussiana

- A *quadratura Gaussiana* é construída de tal forma que ela é exata para polinômios de grau $2N - 1$ ou menos, obtida com apenas N avaliações da função aproximadora, para valores específicos dos nós x_i e pesos w_i , $1 \leq i \leq N$.
- Os pesos e nós podem ser obtidos a partir de *polinômios ortogonais*, como os de Legendre, Chebyshev, Hermite e Laguerre.

Quadratura Gaussiana

- Os nós x_i e pesos w_i são escolhidos de tal forma que a integral seja exata para certos polinômios de grau até $2N - 1$:

$$\int_{-1}^1 x^p dx = \sum_{i=1}^N w_i x_i^p \quad | \quad 0 \leq p \leq 2N - 1 \quad (36)$$

- Como exemplo, vamos determinar os nós e os pesos da quadratura dada por

$$\int_{-1}^1 f(x) dx = w_0 f(x_0) + w_1 f(x_1) \quad (37)$$

Quadratura Gaussiana

- Como a quadratura é linear, e temos quatro coeficientes a determinar (os nós x_0, x_1 e os pesos w_0, w_1), precisamos de quatro equações nessas quatro variáveis.
- Observe que $N = 2$ e que desejamos que $\int_{-1}^1 x^p dx = \sum_{i=1}^N w_i x^p$ seja exata para os polinômios de grau 0,1,2 e $2N - 1 = 3$.
- Para determinar os coeficientes, vamos usar um conjunto de polinômios **ortogonais entre si**, os quais formam uma **base polinomial**:

Quadratura Gaussiana

- Uma base polinomial é formada por um conjunto de k polinômios $P_i(x)$, os quais satisfazem as seguintes relações:

$$\int_a^b w(x) P_i(x) P_j(x) dx = 0, i \neq j, \quad (38)$$

$$\int_a^b w(x) P_i(x)^2 dx \neq 0. \quad (39)$$

- Note a similaridade com a definição de base vetorial num espaço \mathbb{R}^n .

Quadratura Gaussiana

- Uma base polinomial é a formada pelos polinômios: $1, x, x^2$ e x^3 . As integrais definidas desses polinômios são:

$$\int_{-1}^1 dx = x \Big|_{-1}^1 = 2 = w_0 + w_1$$

$$\int_{-1}^1 x dx = \frac{x^2}{2} \Big|_{-1}^1 = 0 = w_0 x_0 + w_1 x_1$$

$$\int_{-1}^1 x^2 dx = \frac{x^3}{3} \Big|_{-1}^1 = \frac{2}{3} = w_0 x_0^2 + w_1 x_1^2$$

$$\int_{-1}^1 x^3 dx = \frac{x^4}{4} \Big|_{-1}^1 = 0 = w_0 x_0^3 + w_1 x_1^3$$

Quadratura Gaussiana

- Com isso, obtemos o sistema de equações não-lineares

$$\begin{cases} w_0 + w_1 &= 2 \\ w_0 x_0 + w_1 x_1 &= 0 \\ w_0 x_0^2 + w_1 x_1^2 &= \frac{2}{3} \\ w_0 x_0^3 + w_1 x_1^3 &= 0 \end{cases} \quad (40)$$

o qual tem como solução:

$$\begin{aligned} x_0 &= -x_1 = \frac{1}{\sqrt{3}} \\ w_0 &= w_1 = 1 \end{aligned}$$

de onde a quadratura é expressa como

$$\int_{-1}^1 f(x) dx = f\left(-\frac{1}{\sqrt{3}}\right) + f\left(\frac{1}{\sqrt{3}}\right).$$

Quadratura Gaussiana

- Usando uma variante do problema modelo como exemplo,

$$\int_{-1}^1 \frac{4}{1+x^2} dx = 4 \tan^{-1} x \Big|_{-1}^1 = 2\pi,$$

a quadratura anterior nos permite calcular a integral acima como:

$$\int_{-1}^1 \frac{4}{1+x^2} dx = \frac{4}{1 + \left(-\frac{1}{\sqrt{3}}\right)^2} + \frac{4}{1 + \left(\frac{1}{\sqrt{3}}\right)^2} = 6,0$$

com erro relativo $e_r(2\pi, 6) = 4,50703 \times 10^{-2}$.

Quadratura Gaussiana

- Outras escolhas de bases polinomiais facilitam a determinação dos nós e pesos da quadratura, como os **polinômios de Legendre**.
- Os polinômios de Legendre são definidos através da fórmula de recorrência

$$P_0(x) = 1 \quad (40)$$

$$P_1(x) = x \quad (41)$$

$$P_n(x) = \frac{2n-1}{n} x P_{n-1}(x) - \frac{n-1}{n} P_{n-2}(x), n > 1, \quad (42)$$

Polinômios de Legendre

- Os cinco primeiros polinômios de Legendre são:

$$P_0(x) = 1 \quad (43)$$

$$P_1(x) = x \quad (44)$$

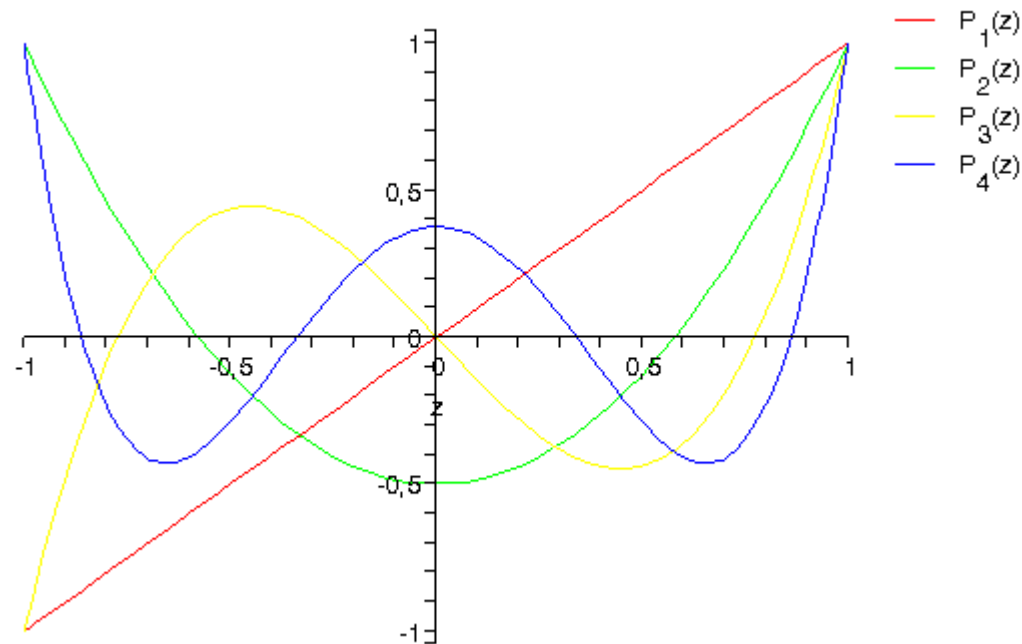
$$P_2(x) = \frac{3}{2}x(x) - \frac{1}{2}(1) = \frac{1}{2}(3x^2 - 1) \quad (45)$$

$$P_3(x) = \frac{5}{3}x\left(\frac{1}{2}(3x^2 - 1)\right) - \frac{2}{3}(x) = \frac{1}{2}(5x^3 - 3x) \quad (46)$$

$$P_4(x) = \frac{1}{8}(35x^4 - 30x^2 + 3) \quad (47)$$

Polinômios de Legendre

- As curvas abaixo representam os polinômios $P_1(x)$, $P_2(x)$, $P_3(x)$ e $P_4(x)$:



Quadratura Gaussiana

- No caso geral, obtém-se um sistema de $2N$ equações para $0 \leq p \leq 2N - 1$:

$$w_1 x_1^p + \cdots + w_N x_N^p = \int_{-1}^1 x^p dx = \begin{cases} \frac{2}{p+1}, & p = 0, 2, \dots, 2N-2 \\ 0, & p = 1, 3, \dots, 2N-1 \end{cases} \quad (48)$$

- Em particular, para qualquer polinômio de grau até $2N - 1$, pode-se escrever

$$f(x) = Q(x)P_N(x) + R(x), \quad (49)$$

onde Q e R são os polinômios quociente e resto, de grau até $N - 1$.

- A integral pode então ser escrita como

$$\int_{-1}^1 f(x) dx = \int_{-1}^1 [Q(x)P_N(x) + R(x)] dx \quad (50)$$

Quadratura Gaussiana

- E a quadratura é expressa como

$$\int_{-1}^1 f(x) dx = \sum_{i=1}^N w_i f(x_i) = \sum_{i=1}^N [Q(x_i)P_N(x_i) + R(x_i)]. \quad (51)$$

Se os nós forem as raízes dos polinômios P_N , então o primeiro termo no somatório se anula, de onde

$$\int_{-1}^1 f(x) dx = \sum_{i=1}^N w_i f(x_i) = \sum_{i=1}^N R(x_i) \quad (52)$$

ou seja, os pesos satisfazem o sistema (48) quando os nós são as raízes dos polinômios P_N .

Quadratura de Gauss-Legendre

- Quem são os nós e os pesos:

- Os nós x_i são as *raízes do polinômio* $P_n(x)$ no intervalo $[-1; 1]$
- Seguindo a formulação encontrada em Abramowitz & Stegun 1972, p. 887, os pesos são dados por

$$w_i = \frac{2}{(1 - x_i^2)[P_n'(x)]^2}. \quad (53)$$

- As derivadas $P_n'(x)$ são calculadas através da fórmula de recorrência

$$P_0'(x) = 0 \quad (54)$$

$$P_1'(x) = 1 \quad (55)$$

$$(1 - x^2)P_n'(x) = (n + 1)xP_n(x) - (n + 1)P_{n+1}(x), n > 1 \quad (56)$$

Quadratura de Gauss-Legendre

- Vamos mostrar um exemplo da determinação dos pesos com polinômios de Legendre. Como no exemplo anterior, vamos usar $N = 2$, mas agora com os polinômios de Legendre de graus 0,1,2 e 3 (equações (43) a (46)):

$$\int_{-1}^1 dx = x \Big|_{-1}^1 = 2$$

$$\int_{-1}^1 x dx = \frac{x^2}{2} \Big|_{-1}^1 = 0$$

$$\int_{-1}^1 \frac{1}{2} (3x^2 - 1) dx = \frac{1}{2} (x^3 - x) \Big|_{-1}^1 = 0$$

$$\int_{-1}^1 \frac{1}{2} (5x^3 - 3x) dx = \frac{1}{2} \left(\frac{5x^4}{4} - \frac{3x^2}{2} \right) \Big|_{-1}^1 = 0$$

Quadratura Gaussiana

- Com isso, obtemos o sistema de equações não-lineares

$$\begin{cases} w_0 + w_1 &= 2 \\ w_0 x_0 + w_1 x_1 &= 0 \\ w_0 \frac{1}{2}(3x_0^2 - 1) + w_1 \frac{1}{2}(3x_1^2 - 1) &= 0 \\ w_0 \frac{1}{2}(5x_0^3 - 3x) + w_1 \frac{1}{2}(5x_1^3 - 3x) &= 0 \end{cases}$$

o qual tem como solução:

$$x_0 = -x_1 = \frac{\sqrt{3}}{3}$$

$$w_0 = w_1 = 1$$

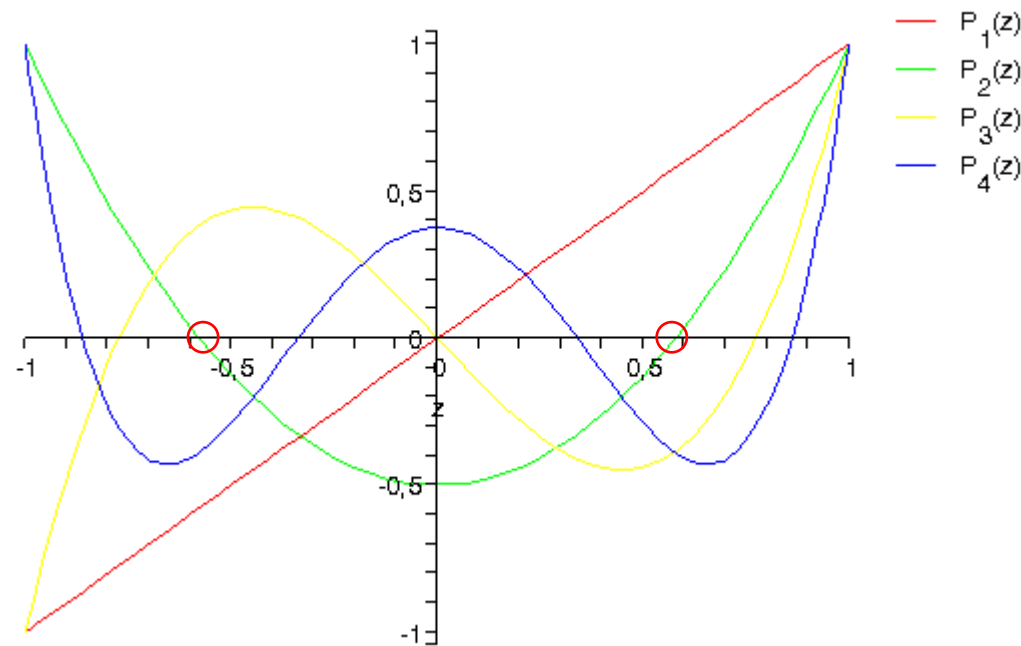
de onde a quadratura é expressa como

$$\int_{-1}^1 f(x) dx = f\left(-\frac{\sqrt{3}}{3}\right) + f\left(\frac{\sqrt{3}}{3}\right).$$

Quadratura Gaussiana

- Note que $x_0 = -x_1 = \frac{\sqrt{3}}{3}$ são as raízes do polinômio $P_2(x)$:

$$P_2\left(\pm \frac{\sqrt{3}}{3}\right) = \frac{1}{2} \left(3 \left(\pm \frac{\sqrt{3}}{3} \right)^2 - 1 \right) = 0$$



Quadratura de Gauss-Legendre

- A tabela abaixo mostra alguns dos nós e pesos (observe a concordância dos valores para $N = 2$ com os resultados obtidos no exemplo anterior):

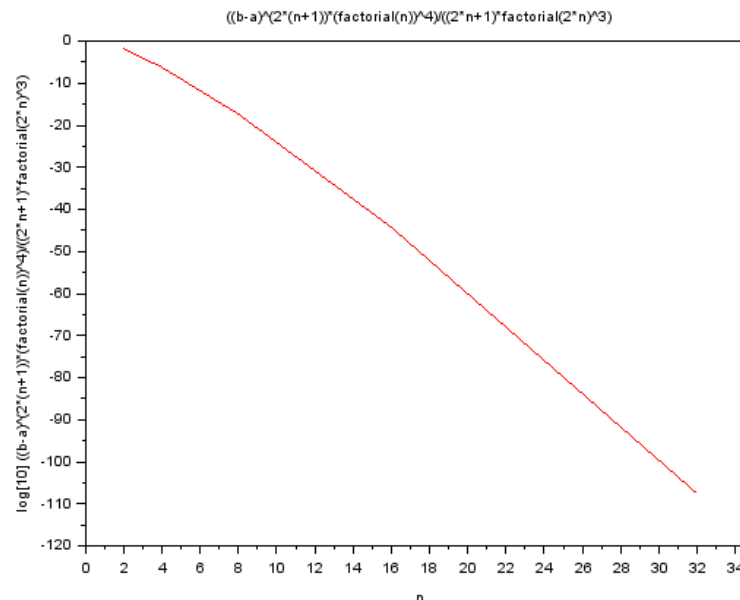
N	Raízes (x_i)	Pesos (w_i)
2	$\pm 0.5773\ 5026\ 9189\ 626$	1.0000 0000 0000 000
3	0.0000 0000 0000 000 $\pm 0.7745\ 9666\ 9241\ 483$	0.8888 8888 8888 888 $\pm 0.5555\ 5555\ 5555\ 555$
4	$\pm 0.3399\ 8104\ 3584\ 856$ $\pm 0.8611\ 3631\ 1594\ 053$	$\pm 0.6521\ 4515\ 4862\ 546$ $\pm 0.3478\ 5484\ 5137\ 454$
5	0.0000 0000 0000 000 $\pm 0.5384\ 6931\ 0105\ 683$ $\pm 0.9061\ 7984\ 5938\ 664$	0.5688 8888 8888 889 $\pm 0.4786\ 2867\ 0499\ 366$ $\pm 0.2369\ 2688\ 5056\ 189$
6	$\pm 0.2386\ 1918\ 6083\ 197$ $\pm 0.6612\ 0938\ 6466\ 265$ $\pm 0.9324\ 6951\ 4203\ 152$	$\pm 0.4679\ 1393\ 4572\ 691$ $\pm 0.3607\ 6157\ 3048\ 139$ $\pm 0.1713\ 2449\ 2379\ 170$

Quadratura de Gauss-Legendre

- O erro de truncamento da quadratura é

$$E(f, n) \leq \frac{(b-a)^{2n+1} (n!)^4}{(2n+1)[(2n)!]^3} \max_{a \leq x \leq b} |f^{(2n)}(x)| \quad (57)$$

Observe que o termo envolvendo fatoriais decai rapidamente à medida que n cresce, como mostra o gráfico de $\log_{10} \frac{(b-a)^{2n+1} (n!)^4}{(2n+1)[(2n)!]^3}$ ao lado (usando $a = -1$ e $b = 1$):



Quadratura de Gauss-Legendre

- Note que a quadratura é definida para uma integral com limites de integração -1 e 1 .
- Para integrarmos usando limites a e b quaisquer, fazemos a seguinte troca de variável:

$$\int_a^b f(x)dx = \frac{b-a}{2} \int_{-1}^1 f\left(\frac{b-a}{2}x + \frac{a+b}{2}\right) dx \quad (58)$$

o que, em termos da quadratura, resulta em

$$\int_a^b f(x)dx \cong \frac{b-a}{2} \sum_{i=1}^n w_i f\left(\frac{b-a}{2}x_i + \frac{a+b}{2}\right). \quad (59)$$

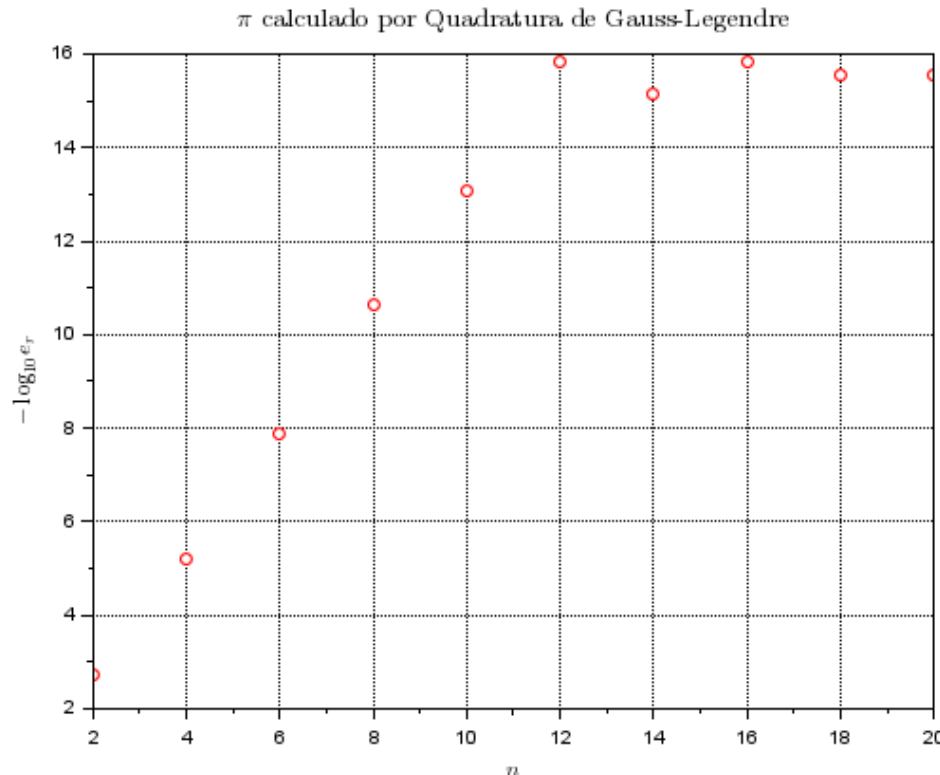
Quadratura de Gauss-Legendre

- A tabela abaixo mostra os resultados obtidos com a quadratura na resolução do problema modelo, para diferentes ordens de quadratura:

n	$Q(n)$	$e_r(\pi, Q(n))$
2	3,14754098360655910	$1,893412250620 \times 10^{-3}$
4	3,14161190524580558	$6,127992434177 \times 10^{-6}$
8	3,14159265351911854	$2,249641665696 \times 10^{-11}$
16	3,14159265358979356	$1,413579858428 \times 10^{-16}$
18	3,14159265358979400	$2,827159716856 \times 10^{-16}$
20	3,14159265358979400	$2,827159716856 \times 10^{-16}$

Quadratura de Gauss-Legendre

- O gráfico a seguir evidencia que há um limite, no problema modelo, para além do qual não é vantajoso usar ordens maiores de quadratura, pois a exatidão da solução chega a piorar:



Problemas típicos da integração numérica

- Alguns problemas típicos

- O que fazer quando:

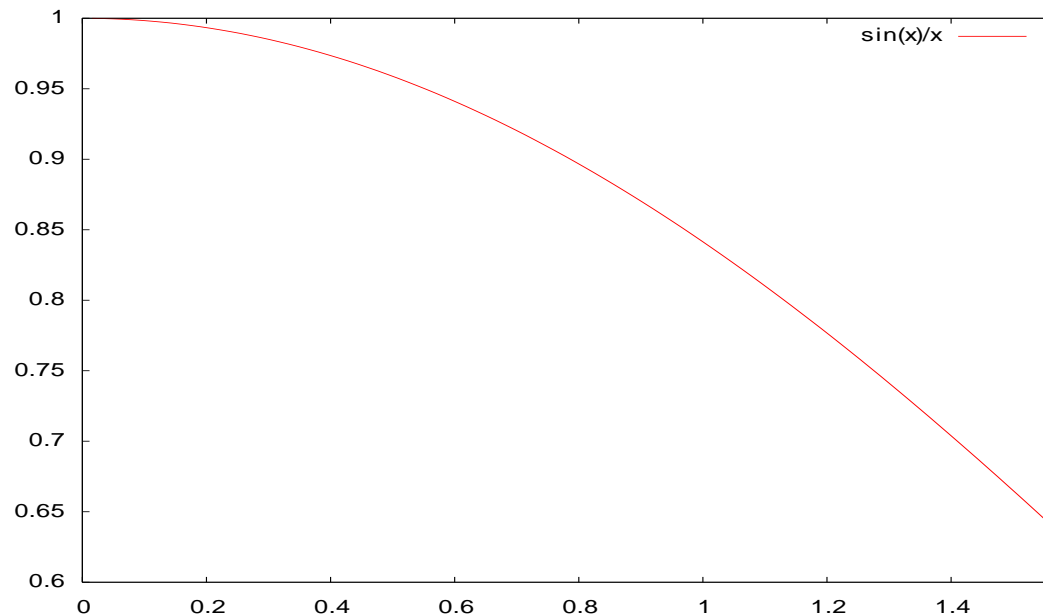
- Um dos limites de integração (ou os dois) causam uma indeterminação do integrando?
 - A curva apresenta uma assíntota vertical?
 - A curva apresenta uma assíntota horizontal?

Alguns problemas típicos

- Indeterminação do integrando
 - Por exemplo, considere a integral

$$\int_0^{\pi/2} \frac{\sin x}{x} dx$$

e o gráfico da função integranda:



- Alguns problemas típicos
 - Indeterminação do integrando
 - Evidentemente, a função integranda não pode ser codificada de forma ingênua: poderíamos escrever, em Scilab, uma *function* como

```
function [y]=f(x)
  if abs(x)>0.0 then
    y=sin(x)/x
  else
    y=1
  end
endfunction
```

Alguns problemas típicos

- Indeterminação do integrando
 - Porém, mesmo isso não seria adequado, já que

$$\frac{\sin x}{x} = 1, x \ll 1.$$

- Por exemplo, usando o Scilab (cujos cálculos são feitos em precisão dupla), para

$$x = \sqrt{\varepsilon_M} = 1,490116119385 \times 10^{-8}$$

obtemos $\frac{\sin x}{x} = 1$. No entanto, se $x = 2\sqrt{\varepsilon_M}$, o valor calculado é $\frac{\sin x}{x} = 0,9999999999999999998900$.

Alguns problemas típicos

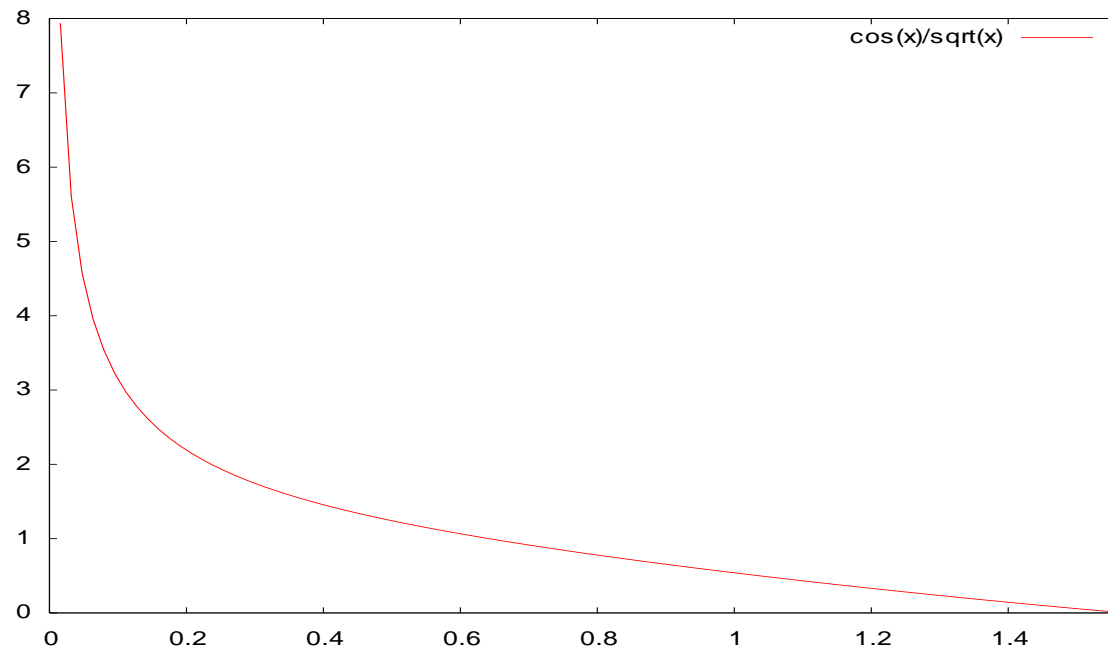
- Indeterminação do integrando
 - No entanto, obteríamos um resultado mais acurado se, para x pequeno, calculássemos a função integranda, substituindo a função seno pelos primeiros termos da série de Taylor:

```
function [y]=f(x)
  if abs(x)<0.1 then
    y=1-x**2*(1-x**2/20)/6
  else
    y=sin(x)/x
  end
endfunction
```

Alguns problemas típicos

- Assíntota vertical do integrando
 - Considere a integral

$$\int_0^{\pi/2} \frac{\cos x}{\sqrt{x}} dx$$



Alguns problemas típicos

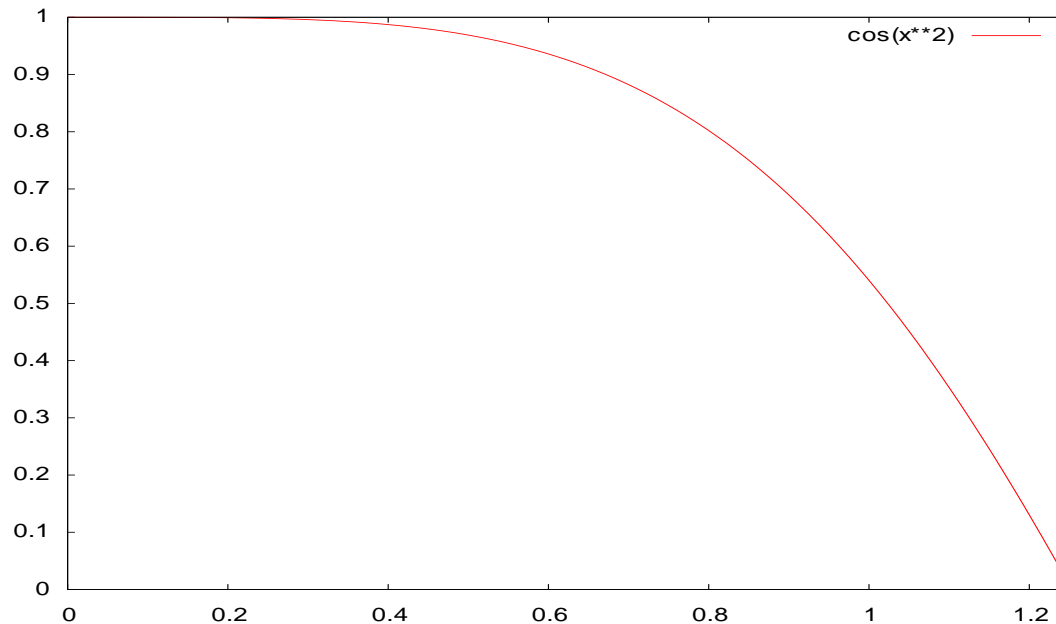
- Assíntota vertical do integrando
 - Afora o fato de haver uma indeterminação do integrando em $x = 0$, o problema aqui é como medir bem a área sob a curva, já que ela cresce para $+\infty$ perto de $x = 0$.
 - A solução é proceder a uma troca de variável e obter uma expressão equivalente que é mais amena à integração numérica.

Alguns problemas típicos

- Assíntota vertical do integrando
 - Por exemplo, fazendo $x = u^2$, $dx = 2u du$, de onde

$$\int_0^{\pi/2} \frac{\cos x}{\sqrt{x}} dx = 2 \int_0^{\sqrt{\pi/2}} \cos u^2 du$$

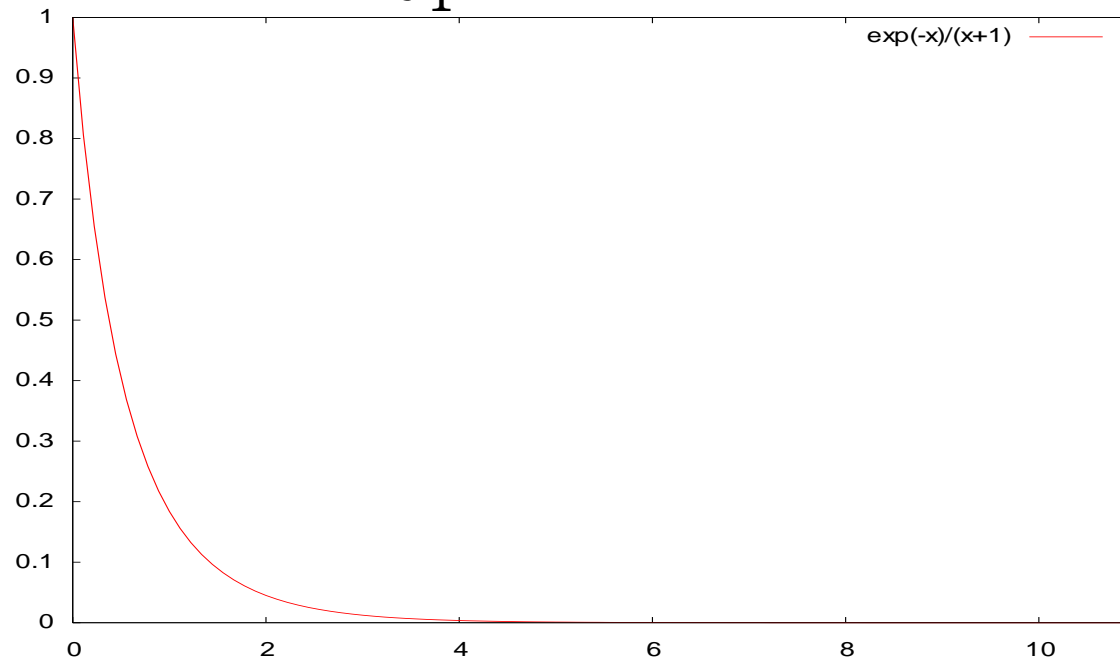
a qual é completamente amena à integração numérica!



Alguns problemas típicos

- Assíntota horizontal do integrando
 - Considere a integral

$$\int_1^{\infty} \frac{e^{-x}}{x+1} dx$$



Alguns problemas típicos

- Assíntota horizontal do integrando
 - Observe que a função integranda, nesse exemplo, é benigna à integração numérica.
 - Porém, ela logo se torna próxima de zero:

x	$\frac{e^{-x}}{x+1}$
2	0.0451 1176 1079
4	0.0036 6312 7780
8	0.0000 3727 3630

Alguns problemas típicos

- Assíntota horizontal do integrando
 - Ou seja, será um desperdício de esforço computacional se usarmos uma integração numérica para, p.ex., o intervalo $[0; 10]$.
 - A estratégia aqui é novamente uma troca de variável: fazendo $x = y^{-1}$, $dx = -y^{-2} dy$, de onde obtemos
$$\int_0^1 \frac{e^{-y^{-1}}}{1+y} \frac{dy}{y}$$
 - Com essa troca de variável, eliminamos o limite de integração $+\infty$, porem devemos tomar dois cuidados:
 - O integrando não pode ser avaliado quando $y = 0$;
 - O integrando não pode ser avaliado quando $e^{-y^{-1}}$ for tão pequeno que ocorra *underflow*.